

- [4] Торчинская Т.В., Мирзажанов М.А.,  
Марченко А.И. и др. - ЖПС, 1984, т. 41, № 4,  
с. 630-635.
- [5] Ланг Д. В кн.: Точечные дефекты в твердых телах, М.:  
Мир, 1979. 379 с.
- [6] Troxeff J.R., Chatterjee A.B.,  
Watkins G.D. et al. Phys. Rev., 1973, v. B8,  
p. 2906.
- [7] Коган Л.М. Полупроводниковые светоизлучающие диоды.  
М.: Энергоиздат, 1983. 208 с.
- [8] Торчинская Т.В., Шматов А.А., Строч-  
ков В.И., Шейнкман М.К. - ФТП, 1986, т. 20,  
№ 4, с. 701-707.
- [9] Юнович А.Э. В кн.: Излучательная рекомбинация в полу-  
проводниках. / Под. ред. Покровского Я.Е., М.: Наука, 1972,  
с. 224-304.
- [10] Попов А.С. - ФТП, 1977, т. 11, № 6, с. 1702-1076.
- [11] Killorant N., Cavenett B.C.,  
Godlewski et al. - J. Phys. C, Sol. Stat.  
Phys., 1982, v. 15, N 22, p. 723-728.
- [12] Smith B.L., Hayes T.J., Pea-  
ker A.R., Wright D.R. - Appl. Phys. Lett.,  
1975, v. 26, N 3, p. 122-126.
- [13] Longini R.L. - Sol. St. Electr., 1962, N 2,  
p. 123-130.
- [14] Lang D.V., Kimerling L.C., - Appl.  
Phys. Lett., 1976, v. 28, N 2, p. 248-256.

Поступило в Редакцию  
8 июня 1988 г.

Письма в ЖТФ, том 14, вып. 18

26 сентября 1988 г.

ПОВЕРХНОСТНЫЕ МАГНИТОПЛАЗМЕННЫЕ  
ПОЛЯРИТОНЫ В ИОННОМ КРИСТАЛЛЕ  
С ДВУМЕРНЫМ ЭЛЕКТРОННЫМ СЛОЕМ

Х.К. Гранада, Ю.А. Косевич,  
А.М. Косевич

Рассматривается ионный кристалл, на поверхности которого рас-  
положен двумерный ( $2D$ ) электронный слой, помещенный во внеш-  
нее магнитное поле  $H$ , перпендикулярное плоскости слоя. В работе  
[1] в пренебрежении запаздыванием электромагнитных волн исследо-  
ваны особенности связанных фонон-магнитоплазменных поверхнос-  
тных колебаний в такой системе и обращено внимание на возмож-  
ность существования поверхностных волн с отрицательной групповой

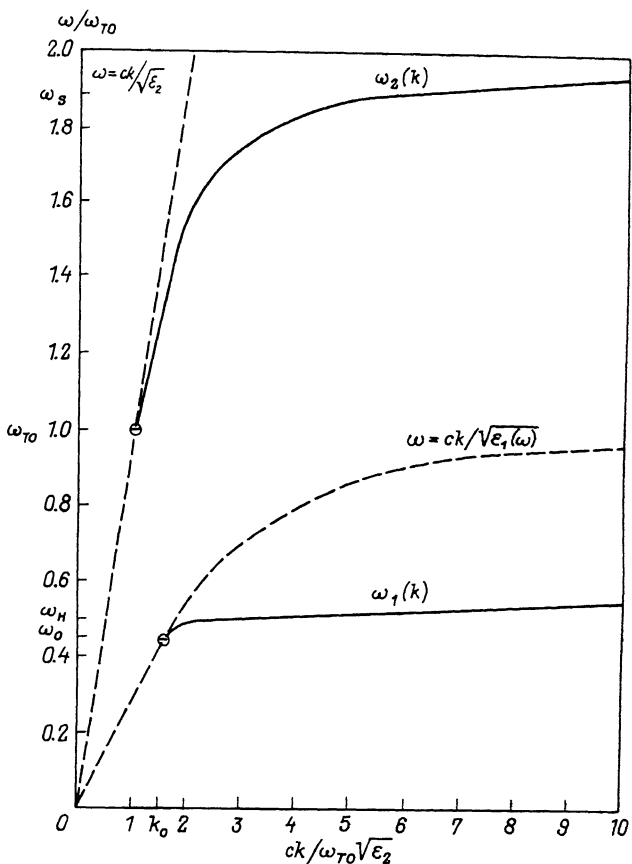


Рис. 1. Закон дисперсии поверхностных магнитоплазменных колебаний при  $\omega_H = 0.5 \cdot \omega_{\tau_0}$ ,  $\Omega = 0.087 \cdot \omega_{\tau_0}$ ,  $\zeta = 1.875 \cdot \omega_{\tau_0}$ ,  $\omega_s = 3 \cdot \omega_{\tau_0}$ ,  $\gamma_0 = 5 \cdot 10^{12} \text{ см}^{-2}$ ,  $m = 10^{-28} \text{ г}$ ,  $\epsilon_0 = 9.27$ ,  $\epsilon_\infty = 1.92$ ,  $\epsilon_2 = 1$ ,  $\omega_{\tau_0} = 5.78 \cdot 10^{13} \text{ с}^{-1}$  [3].

скоростью на частотах меньше электронной циклотронной. В недавней работе [2] показано, что при определенных условиях учет эффектов запаздывания в диэлектрике приводит к появлению в спектре магнитоплазменных колебаний 2D электронного слоя частот, более низких, чем электронная циклотронная частота. В настоящем сообщении показано, что при наличии частотной дисперсии диэлектрической проницаемости  $\epsilon(\omega)$  учет запаздывания может приводить к немонотонному закону дисперсии  $\omega(k)$  поверхностных магнитоплазменных поляритонов, а также к существенной модификации (по сравнению с результатами работы [1]) спектра длинноволновых связанных фонон-магнитоплазменных поверхностных волн.

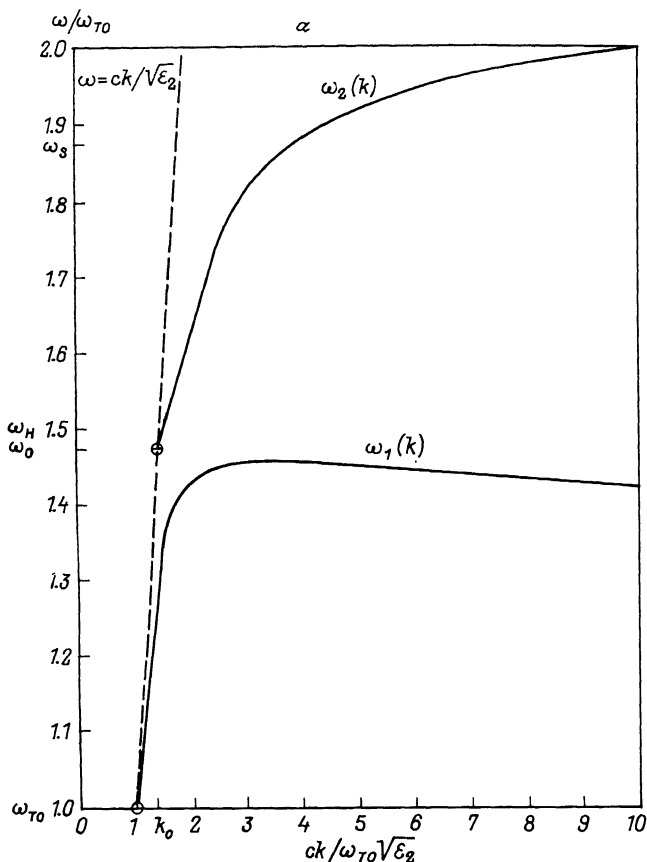


Рис. 2. Закон дисперсии поверхностных магнитоплазменных колебаний: а)  $\omega_{\tau_0} < \omega_H < \omega_s$ ,  $\omega_H = 1.5 \cdot \omega_{\tau_0}$ ; б)  $\omega_s < \omega_H < \omega_{\tau_0}$ ,  $\omega_H = 2.5 \cdot \omega_{\tau_0}$ ; значения характерных параметров те же, что на рис. 1.

Закон дисперсии магнитоплазменных колебаний 2- $D$  электронного слоя в рассматриваемой системе с учетом запаздывания и рассеяния носителей заряда может быть получен непосредственно из общего уравнения (3) работы [2]:

$$\left[ \omega^2 - \frac{c \Omega^*}{\epsilon_1/q_1 + \epsilon_2/q_2} \right] \cdot \left[ 1 + \frac{\Omega^*/c}{q_1 + q_2} \right] = (\omega_H^*)^2, \quad (1)$$

где  $q_{1,2}^2 = k^2 - (\omega/c)^2 \epsilon_{1,2}$ ,  $\epsilon_{1,2}$  – диэлектрические проницаемости соприкасающихся полубесконечных диэлектрических сред,  $\Omega^* = 4\pi e^2 \gamma_0 / (m^* c)$ ,  $\omega_H^* = eH / (m^* c)$ ,  $m^* = m [1 + i / (\omega \tau)]$ ,

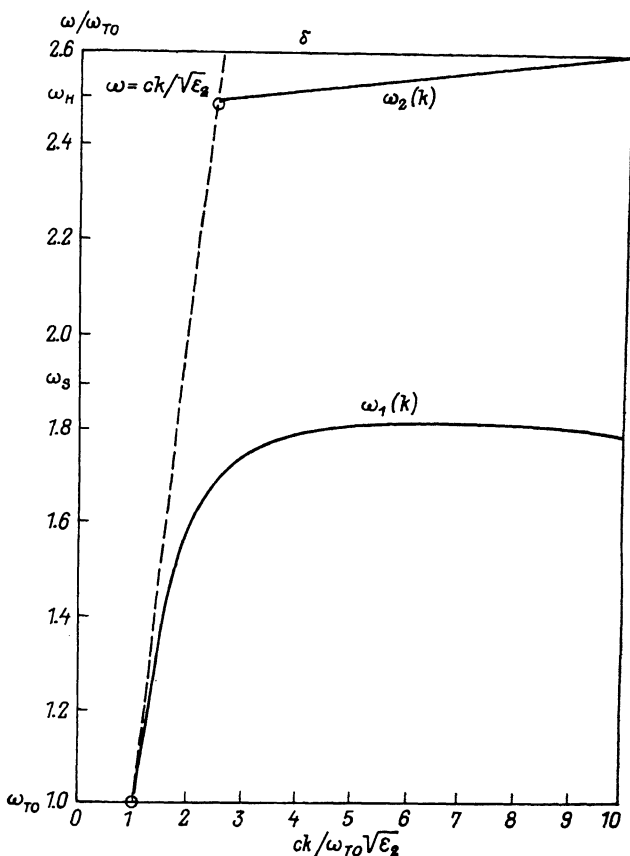


Рис. 2 (продолжение).

$m$ ,  $e$ ,  $\rho_0$  и  $\tau$  - эффективная масса, заряд, поверхностная плотность и характерное время релаксации электронов в 2D слое.

Диэлектрическая проницаемость ионного кристалла  $\epsilon_1$ , обладает следующей частотной дисперсией:

$$\epsilon_1(\omega) = \epsilon_\infty + \frac{(\epsilon_0 - \epsilon_\infty) \omega_{T0}}{\omega_{T0}^2 - \omega^2}, \quad (2)$$

где  $\epsilon_0$  и  $\epsilon_\infty$  - статическая и высокочастотная предельные диэлектрические проницаемости, а  $\omega_{T0}$  - частота длинноволновых оптических фононов. Диэлектрическая проницаемость второй среды  $\epsilon_2$  от частоты не зависит.

В пренебрежении запаздыванием ( $c^2 k^2 \gg \omega^2 \epsilon_{1,2}$ ) и при  $\omega \tau \gg 1$  ( $m^* = m$ ,  $\omega_H^* = \omega_H$ ,  $\Omega^* = \Omega$ ) из (1) и (2) можно вы-

вести законы дисперсии, полученные в работе [1]. Взаимодействие поверхностных поляритонов с магнитоплазменными колебаниями 2D электронного слоя приводит к появлению двух ветвей связанных поверхностных колебаний  $\omega_{1,2}(k)$ , причем в пренебрежении запаздыванием обе ветви обладают щелью в спектре:  $\omega_1(0) = \omega_H$ ,  $\omega_2(0) = \omega_S$ , где  $\omega_S^2 = \omega_{TO}^2(\epsilon_2 + \epsilon_\infty)/(\epsilon_2 + \epsilon_\infty)$ . Опишем на основе уравнений (1) и (2) законы дисперсии  $\omega_{1,2}(k)$  в зависимости от соотношений между характерными частотами  $\omega_H$  и  $\omega_{TO}$  с учетом эффектов запаздывания.

В случае  $\omega_H < \omega_{TO}$  нижняя ветвь поверхностных колебаний  $\omega_1(k)$  оканчивается на кривой графика закона дисперсии нижней ветви объемных поляритонов ионного кристалла  $\omega\sqrt{\epsilon_1(\omega)} = ck$ . Частота в точке окончания определяется отношением величин  $\Omega$  к  $\omega_H$ : при  $\omega_H \ll \Omega$  дисперсионная кривая оканчивается в точке  $k_0 = \omega_0 \sqrt{\epsilon_0}/c$ ,  $\omega_0 = \sqrt{\epsilon_0 - \epsilon_2} \omega_H^2/\Omega$  ( $\epsilon_0 > \epsilon_2$ ), касаясь дисперсионной кривой объемных поляритонов. В интервале волновых векторов  $k_0 \leq k < (\omega_H/c)\sqrt{\epsilon_0}$  имеются собственные частоты, лежащие ниже электронной циклотронной частоты  $\omega_H$ . Если же  $\omega_H \gg \Omega$ , то точка окончания расположена вблизи циклотронной частоты (рис. 1):

$$k_0 \frac{\omega_0}{c} \sqrt{\epsilon_1(\omega_H)}, \quad \omega_0 = \omega_H \left[ 1 - \frac{\Omega}{2\omega_H} \left( \frac{\omega_{TO}^2 - \omega_H^2}{(\epsilon_\infty - \epsilon_2)(\omega_*^2 - \omega_H^2)} \right)^{1/2} \right] < \omega_H, \quad (3)$$

где  $\omega_* = \omega_{TO} [(\epsilon_0 - \epsilon_2)/(\epsilon_\infty - \epsilon_2)]^{1/2}$  — характерная частота, определяющая точку пересечения линии  $\omega = ck/\sqrt{\epsilon_2}$  и верхней ветви объемных поляритонов ( $\epsilon_\infty > \epsilon_2$ ).

Отметим, что в случае  $\omega_H \rightarrow \omega_{TO}$ , ( $\omega_H < \omega_{TO}$ ) точка окончания  $k_0$  ветви  $\omega_1(k)$  неограниченно возрастает. Действительно, из (3) следует, что при  $\omega_H \rightarrow \omega_{TO} - 0$

$$k_0(\omega_H) = \frac{\epsilon_0 - \epsilon_\infty}{2c} \frac{\omega_{TO}^2}{\omega_{TO}^2 - \omega_H^2}. \quad (4)$$

Таким образом, при очень малых значениях  $\omega_{TO} - \omega_H$  значения  $k$  становятся настолько большими, что необходимо учитывать эффекты пространственной дисперсии диэлектрической проницаемости. Последние должны привести к конечному значению  $k_0(\omega_H)$  в точке окончания.

Верхняя ветвь  $\omega_2(k)$  в случае  $\omega_H < \omega_{TO}$  имеет точку окончания на линии  $\omega = ck/\sqrt{\epsilon_2}$  на частоте  $\omega = \omega_{TO}$ ;  $\omega_2(k)$  является монотонной функцией волнового числа.

В случае  $\omega_{TO} < \omega_H < \omega_*$  обе ветви колебаний поверхностных магнитоплазменных поляритонов имеют точки окончания на линии  $\omega = ck/\sqrt{\epsilon_2}$ . Нижняя ветвь  $\omega_1(k)$  имеет точку окончания на частоте  $\omega_{TO}$ . С ростом  $k$  частота колебаний этой ветви растет до достижения максимума, положение которого определяется

соотношением частот  $\omega_s$  и  $\omega_H$ : если  $\omega_H < \omega_s$ , то максимум лежит вблизи, но несколько ниже частоты  $\omega_H$ ; если же  $\omega_H > \omega_s$ , то максимум лежит вблизи, но несколько ниже частоты  $\omega_s$ . По достижении максимума частота  $\omega_2(k)$  убывает с ростом  $k$ , асимптотически приближаясь к  $\omega_{T0}$ . Верхняя ветвь  $\omega_2(k)$  имеет точку окончания на частоте, близкой к  $\omega_H$ . Частота этой ветви всегда является монотонно возрастающей функцией волнового числа  $k$ . В интервале частот между максимумом нижней кривой и точкой окончания верхней ветви имеется щель. В отличие от [1], учет запаздывания приводит к тому, что при  $\omega_H < \omega_s$  ширина запрещенной щели очень мала, т.к. положение максимума на нижней кривой и положение точки окончания верхней кривой определяются одной частотой —  $\omega_H$  (рис. 2, а). При  $\omega_H > \omega_s$  положения краев щели определяются разными частотами, и ширина щели растет при увеличении магнитного поля (рис. 2, б).

При  $\omega_H > \omega_s$  верхняя ветвь  $\omega_2(k)$  оканчивается на графике верхней ветви объемных поляритонов на частоте, близкой к  $\omega_H$ . При этом качественное поведение обеих ветвей в основном соответствует случаю  $\omega_s < \omega_H < \omega_*$ .

Отметим, всегда имеется точка окончания одной из ветвей поверхностных магнитоплазменных поляритонов  $k = \omega_{T0} \sqrt{\epsilon_2}/c$ ,  $\omega = \omega_{T0}$ , положение которой не зависит от наличия магнитного поля и 2D электронного слоя.

#### Л и т е р а т у р а

- [1] П о лищук О.В., П о п о в В.В., С и н и цы н Н.И. — Письма в ЖТФ, 1987, т. 13, в. 19, с. 1197–1200.
- [2] К o s e v i c h Yu.A., K o s e v i c h A.M. and G r a n a d a J.C. — Phys. Lett. A, 1988, v. 127, N 1, p. 52–56.
- [3] Поверхностные поляритоны. Электромагнитные волны на поверхностях и границах раздела сред. / Под ред. В.М. Аграновича и Д.А. Миллса, М.: Наука, 1985. 528 с.

Харьковский  
государственный  
университет им. А.М. Горького

Поступило в Редакцию  
12 мая 1988 г.